Mass spectra data were obtained on a VG-7025 GC/MS/MS spectrometer.

1a: Mass spectrum (EI: 70 eV) 10 most intense m/z: 155, 179, 73, 207, 147, 44, 83, 97, 199, 156. IR (KBr, cm^{-1}): 2960 s, 2902 s, 2169 w, 1605 s, 1389 s, 1250 m, 1042 w, 953 m, 845 s, 783 m, 695 w, 621 m.

1b: Mass spectrum (EI: 70 eV) 10 most intense m/z: 147, 83, 155, 44, 135, 148, 45, 66, 43, 149. IR (KBr, cm^{-1}): 2960 m, 2900 m, 2854 m, 2810 m, 2158 w, 1645 s, 1599 s, 1483 m, 1456 m, 1384 s, 1302 s, 1248 s, 1203 s, 1069 m, 988 s, 945 s, 849 s, 784 m, 753 s, 701 m, 622 m.

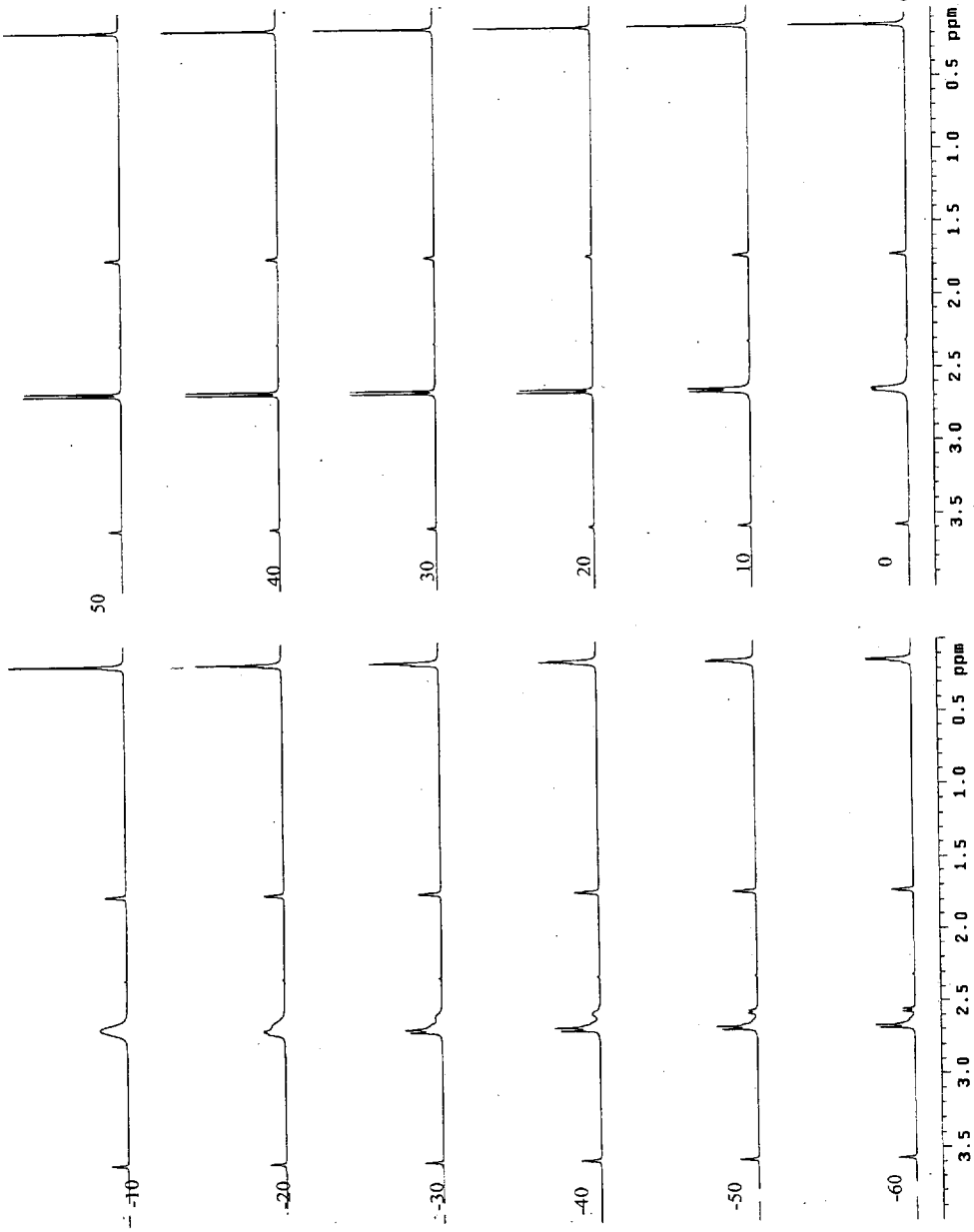

Figure (a). Variable-temperature ^{1}H NMR spectra of **1b**.

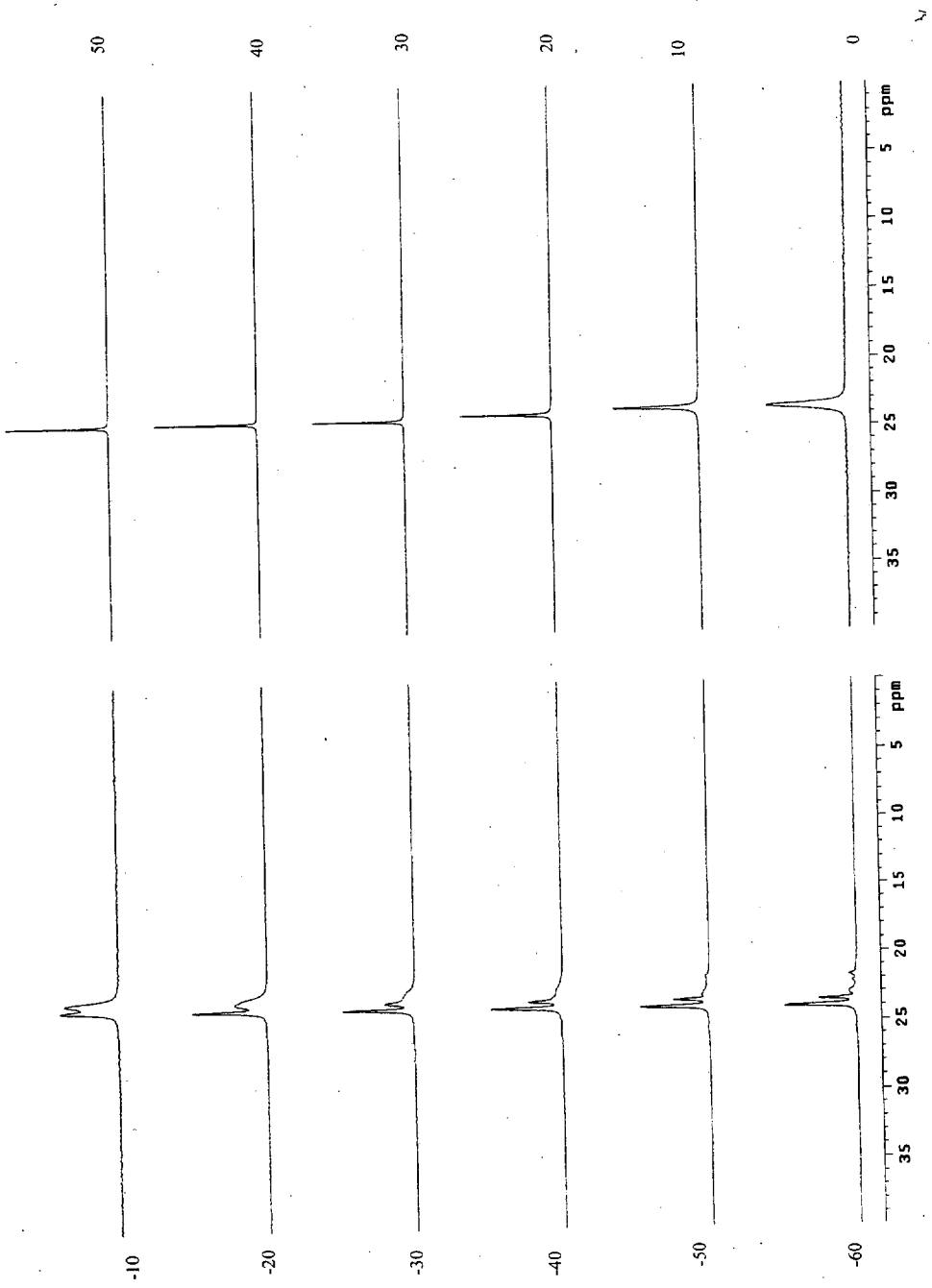

Figure (b). Variable-temperature ^{31}P NMR spectra of **1b**.

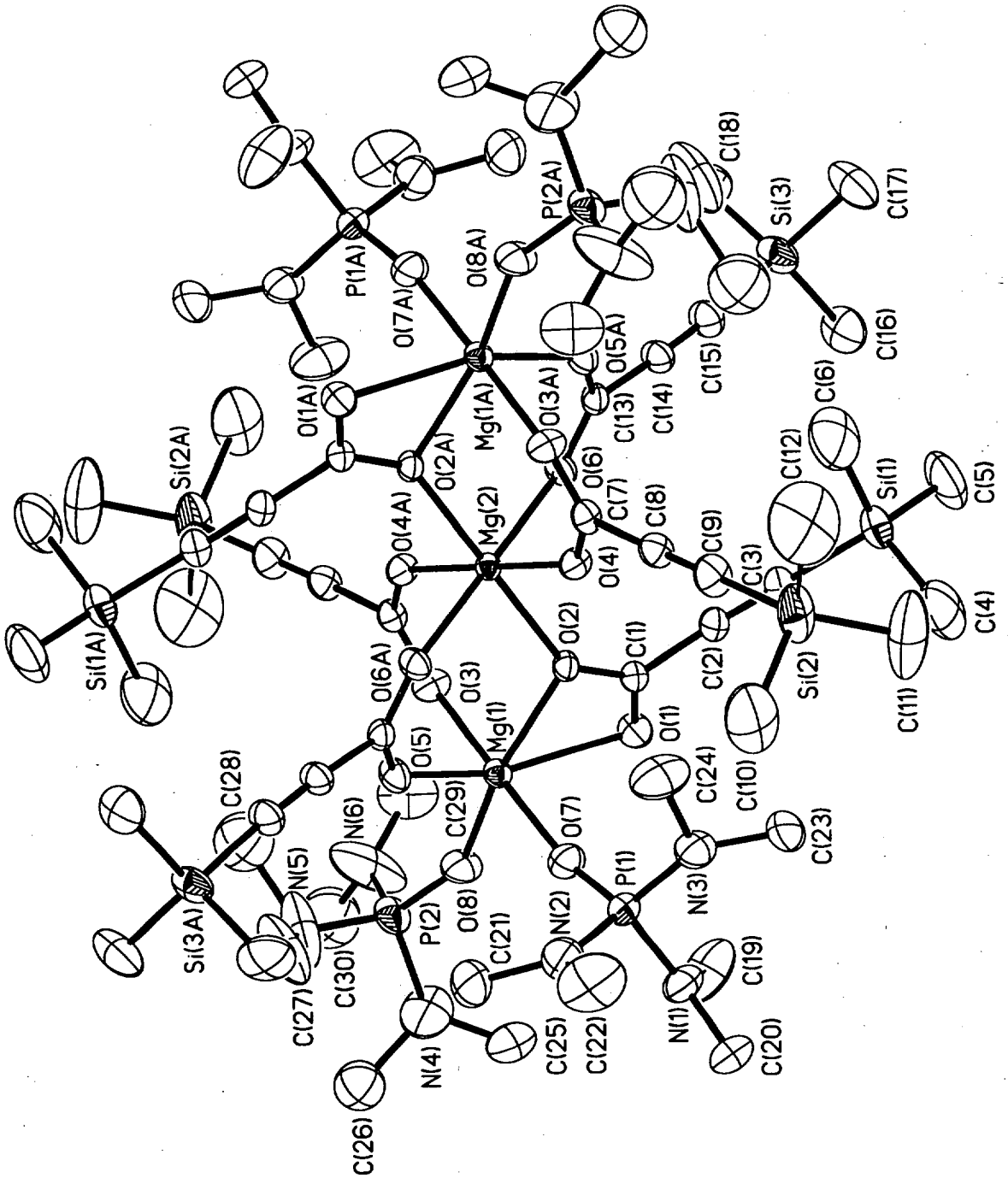

Fig. 1: The molecular structure of IC7298, thermal ellipsoids drawn at the 30% probability level.

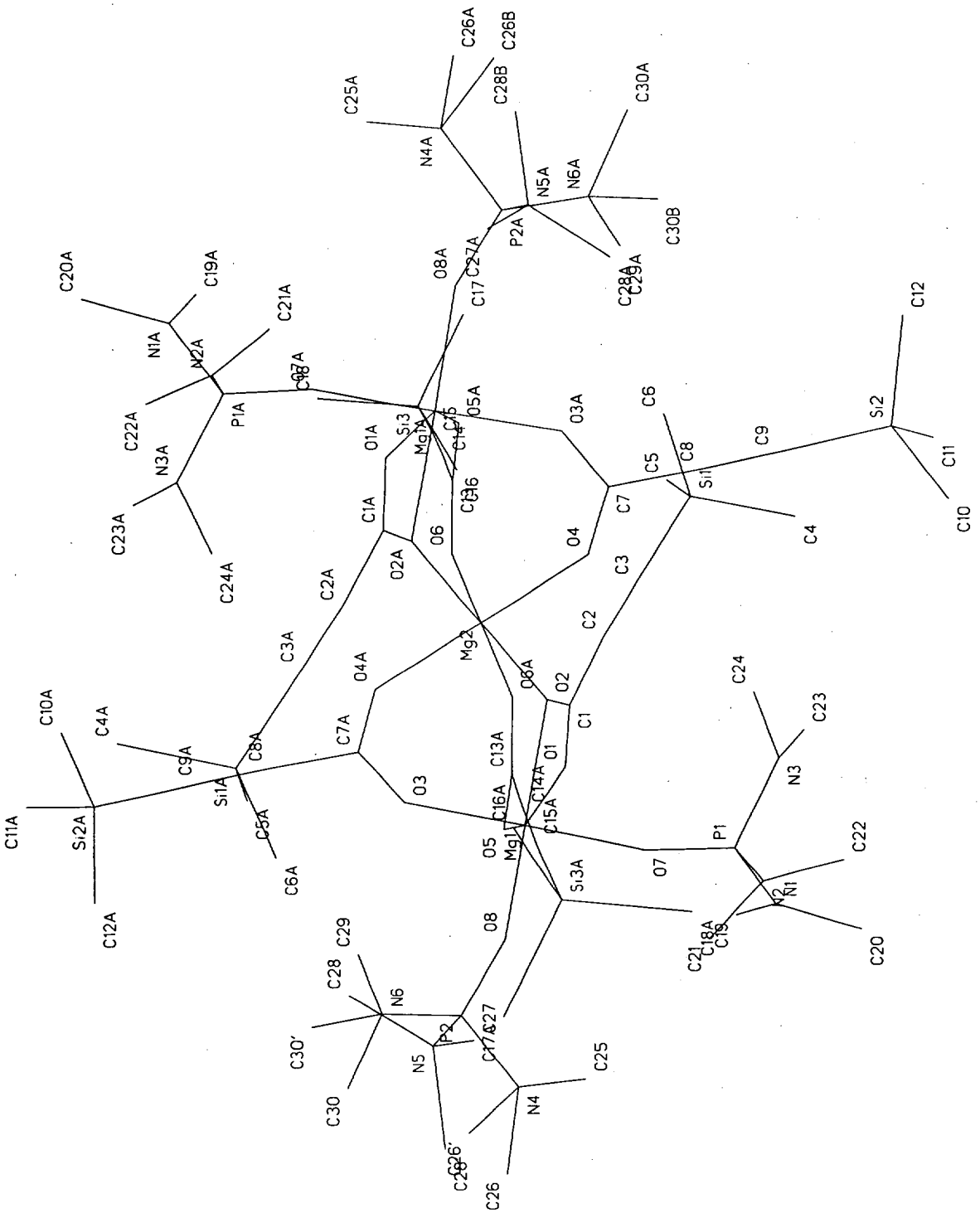

Table 1. Crystal data and structure refinement for ic7298.

Identification code	ic7298
Empirical formula	$C_{60}H_{126}Mg_3N_{12}O_{16}P_4Si_6$
Formula weight	1637.08
Temperature	220(1) K
Wavelength	0.71073 Å
Crystal system	Triclinic
Space group	$P\bar{1}$
Unit cell dimensions	a = 12.2761(2) Å alpha = 111.313(1)° b = 13.9829(1) Å beta = 104.555(1)° c = 16.4374(1) Å gamma = 102.939(1)°
Volume, Z	2383.67(4) $Å^3$, 1
Density (calculated)	1.140 Mg/m^3
Absorption coefficient	0.232 mm^{-1}
F(000)	878
Crystal size	0.42 x 0.40 x 0.40 mm
θ range for data collection	1.43 to 26.37°
Limiting indices	$-15 \le h \le 15$, $-17 \le k \le 17$, $-20 \le l \le 20$
Reflections collected	26665
Independent reflections	9509 (R_{int} = 0.0257)
Absorption correction	empirical used sadabs
Max. and min. transmission	0.9280 and 0.8433
Refinement method	Full-matrix least-squares on F^2
Data / restraints / parameters	9509 / 6 / 456
Goodness-of-fit on F^2	1.081
Final R indices [I>2σ(I)]	R1 = 0.0696, wR2 = 0.1878
R indices (all data)	R1 = 0.0887, wR2 = 0.2026
Extinction coefficient	0.0098(15)
Largest diff. peak and hole	1.070 and -0.553 $eÅ^{-3}$

Table 2. Atomic coordinates [x 10^4] and equivalent isotropic displacement parameters [$Å^2$ x 10^3] for ic7298. U(eq) is defined as one third of the trace of the orthogonalized U_{ij} tensor.

	x	y	z	U(eq)
Mg(1)	5409(1)	7069(1)	-821(1)	33(1)
Mg(2)	5000	5000	0	27(1)
P(1)	7943(1)	9183(1)	951(1)	43(1)
P(2)	5205(1)	7628(1)	-2664(1)	52(1)
Si(1)	4430(1)	7855(1)	3326(1)	71(1)
Si(2)	9315(1)	7516(1)	4771(1)	83(1)
Si(3)	-156(1)	4807(1)	1470(1)	58(1)
O(1)	4462(2)	7878(2)	122(2)	47(1)
O(2)	5149(2)	6591(2)	233(1)	33(1)
O(3)	3849(2)	5791(2)	-1783(2)	46(1)
O(4)	6102(2)	5581(2)	1386(1)	39(1)
O(5)	6415(2)	6136(2)	-1188(2)	44(1)
O(6)	3475(2)	4803(2)	333(2)	39(1)
O(7)	6894(2)	8355(2)	127(2)	54(1)
O(8)	5289(2)	7714(2)	-1729(2)	58(1)
N(1)	7950(3)	10402(2)	1077(2)	61(1)
N(2)	9173(3)	9022(3)	826(3)	78(1)
N(3)	8042(3)	9162(3)	1958(2)	62(1)
N(4)	5790(8)	8824(4)	-2569(4)	148(3)
N(5)	5917(7)	6947(6)	-3170(4)	136(3)
N(6)	3841(5)	7094(7)	-3382(4)	155(3)
C(1)	4676(3)	7306(2)	528(2)	36(1)
C(2)	4457(3)	7472(3)	1395(2)	45(1)
C(3)	4389(4)	7637(3)	2144(3)	55(1)
C(4)	5780(6)	9054(6)	4182(4)	118(2)
C(5)	3069(6)	8111(6)	3462(4)	121(2)
C(6)	4540(10)	6624(6)	3473(5)	150(3)
C(7)	6459(3)	5188(3)	1924(2)	36(1)
C(8)	7385(3)	5984(3)	2860(2)	45(1)
C(9)	8132(3)	6610(3)	3617(2)	58(1)
C(10)	10707(6)	8025(7)	4592(5)	165(4)
C(11)	8888(7)	8667(7)	5400(5)	163(4)
C(12)	9524(9)	6696(8)	5414(5)	180(4)
C(13)	3142(3)	4418(2)	839(2)	36(1)
C(14)	2091(3)	4616(3)	1058(2)	44(1)
C(15)	1222(3)	4729(3)	1228(3)	52(1)
C(16)	-356(5)	6115(4)	1552(4)	79(1)
C(17)	38(5)	4733(5)	2606(4)	95(2)
C(18)	-1438(5)	3637(5)	498(5)	102(2)
C(19)	6844(6)	10608(5)	765(5)	112(2)
C(20)	9011(5)	11380(3)	1704(4)	86(2)
C(21)	9209(6)	8517(5)	-97(5)	129(3)
C(22)	10315(5)	9366(6)	1585(6)	131(3)
C(23)	7507(5)	9785(4)	2557(3)	83(2)
C(24)	8051(6)	8155(4)	2042(4)	98(2)
C(25)	6041(6)	9803(4)	-1837(5)	101(2)
C(27)	7023(8)	6884(8)	-2803(5)	143(3)
C(29)	2803(5)	6792(5)	-3187(5)	101(2)

C(26)	6359(9)	8940(9)	-3266(7)	103(3)
C(28)	5115(13)	5670(11)	-3633(10)	141(5)
C(30)	3495(13)	7310(12)	-4207(10)	149(5)
C(26')	4794(19)	8984(19)	-3325(15)	143(8)
C(28')	6532(21)	7553(19)	-3716(16)	145(8)
C(30')	3771(51)	6068(33)	-4159(31)	330(28)

Table 3. Bond lengths [Å] and angles [°] for ic7298.

Mg(1)-O(8)	1.998(2)	Mg(1)-O(7)	2.013(3)
Mg(1)-O(5)	2.028(2)	Mg(1)-O(3)	2.063(2)
Mg(1)-O(2)	2.138(2)	Mg(1)-O(1)	2.291(2)
Mg(1)-Mg(2)	3.6013(9)	Mg(2)-O(6)	2.068(2)
Mg(2)-O(6)#1	2.068(2)	Mg(2)-O(4)	2.072(2)
Mg(2)-O(4)#1	2.072(2)	Mg(2)-O(2)	2.072(2)
Mg(2)-O(2)#1	2.072(2)	Mg(2)-Mg(1)#1	3.6013(9)
P(1)-O(7)	1.467(3)	P(1)-N(2)	1.627(4)
P(1)-N(1)	1.639(3)	P(1)-N(3)	1.639(3)
P(2)-O(8)	1.472(3)	P(2)-N(5)	1.589(5)
P(2)-N(4)	1.599(5)	P(2)-N(6)	1.600(5)
Si(1)-C(5)	1.835(6)	Si(1)-C(3)	1.839(4)
Si(1)-C(4)	1.845(6)	Si(1)-C(6)	1.853(7)
Si(2)-C(9)	1.832(4)	Si(2)-C(12)	1.837(9)
Si(2)-C(10)	1.837(7)	Si(2)-C(11)	1.838(7)
Si(3)-C(18)	1.841(6)	Si(3)-C(15)	1.850(3)
Si(3)-C(16)	1.861(5)	Si(3)-C(17)	1.865(5)
O(1)-C(1)	1.244(4)	O(2)-C(1)	1.274(3)
O(3)-C(7)#1	1.252(4)	O(4)-C(7)	1.242(4)
O(5)-C(13)#1	1.257(4)	O(6)-C(13)	1.242(4)
N(1)-C(19)	1.456(6)	N(1)-C(20)	1.461(5)
N(2)-C(21)	1.439(7)	N(2)-C(22)	1.461(7)
N(3)-C(23)	1.455(6)	N(3)-C(24)	1.466(6)
N(4)-C(25)	1.358(7)	N(4)-C(26)	1.520(11)
N(4)-C(26')	1.63(2)	N(5)-C(27)	1.377(8)
N(5)-C(28)	1.607(13)	N(5)-C(28')	1.64(2)
N(6)-C(29)	1.403(8)	N(6)-C(30)	1.475(13)
N(6)-C(30')	1.50(3)	C(1)-C(2)	1.462(4)
C(2)-C(3)	1.195(5)	C(7)-O(3)#1	1.252(4)
C(7)-C(8)	1.486(4)	C(8)-C(9)	1.196(5)
C(13)-O(5)#1	1.257(4)	C(13)-C(14)	1.482(4)
C(14)-C(15)	1.197(5)		

O(8)-Mg(1)-O(7)	91.05(11)	O(8)-Mg(1)-O(5)	101.67(11)
O(7)-Mg(1)-O(5)	91.04(11)	O(8)-Mg(1)-O(3)	88.15(10)
O(7)-Mg(1)-O(3)	177.75(11)	O(5)-Mg(1)-O(3)	91.19(10)
O(8)-Mg(1)-O(2)	162.97(11)	O(7)-Mg(1)-O(2)	91.45(10)
O(5)-Mg(1)-O(2)	95.12(9)	O(3)-Mg(1)-O(2)	88.71(9)
O(8)-Mg(1)-O(1)	104.18(11)	O(7)-Mg(1)-O(1)	84.71(10)
O(5)-Mg(1)-O(1)	153.85(10)	O(3)-Mg(1)-O(1)	93.45(10)
O(2)-Mg(1)-O(1)	59.32(8)	O(8)-Mg(1)-Mg(2)	158.48(9)
O(7)-Mg(1)-Mg(2)	108.51(8)	O(5)-Mg(1)-Mg(2)	69.95(7)
O(3)-Mg(1)-Mg(2)	72.63(6)	O(2)-Mg(1)-Mg(2)	30.66(5)
O(1)-Mg(1)-Mg(2)	86.95(6)	O(6)-Mg(2)-O(6)#1	180.0
O(6)-Mg(2)-O(4)	91.76(9)	O(6)#1-Mg(2)-O(4)	88.24(9)
O(6)-Mg(2)-O(4)#1	88.24(9)	O(6)#1-Mg(2)-O(4)#1	91.76(9)
O(4)-Mg(2)-O(4)#1	180.0	O(6)-Mg(2)-O(2)	90.66(8)
O(6)#1-Mg(2)-O(2)	89.34(8)	O(4)-Mg(2)-O(2)	89.60(8)
O(4)#1-Mg(2)-O(2)	90.40(8)	O(6)-Mg(2)-O(2)#1	89.34(8)
O(6)#1-Mg(2)-O(2)#1	90.66(8)	O(4)-Mg(2)-O(2)#1	90.40(8)
O(4)#1-Mg(2)-O(2)#1	89.59(8)	O(2)-Mg(2)-O(2)#1	180.0
O(6)-Mg(2)-Mg(1)	110.81(6)	O(6)#1-Mg(2)-Mg(1)	69.19(6)
O(4)-Mg(2)-Mg(1)	112.34(6)	O(4)#1-Mg(2)-Mg(1)	67.66(6)
O(2)-Mg(2)-Mg(1)	31.75(5)	O(2)#1-Mg(2)-Mg(1)	148.25(5)
O(6)-Mg(2)-Mg(1)#1	69.19(6)	O(6)#1-Mg(2)-Mg(1)#1	110.81(6)

O(4)-Mg(2)-Mg(1)#1	67.66(6)	O(4)#1-Mg(2)-Mg(1)#1	112.34(6)
O(2)-Mg(2)-Mg(1)#1	148.25(5)	O(2)#1-Mg(2)-Mg(1)#1	31.75(5)
Mg(1)-Mg(2)-Mg(1)#1	180.0	O(7)-P(1)-N(2)	110.3(2)
O(7)-P(1)-N(1)	108.8(2)	N(2)-P(1)-N(1)	110.3(2)
O(7)-P(1)-N(3)	116.8(2)	N(2)-P(1)-N(3)	103.5(2)
N(1)-P(1)-N(3)	107.0(2)	O(8)-P(2)-N(5)	116.8(2)
O(8)-P(2)-N(4)	109.0(2)	N(5)-P(2)-N(4)	103.5(4)
O(8)-P(2)-N(6)	111.6(2)	N(5)-P(2)-N(6)	106.1(4)
N(4)-P(2)-N(6)	109.4(4)	C(5)-Si(1)-C(3)	109.1(3)
C(5)-Si(1)-C(4)	110.4(3)	C(3)-Si(1)-C(4)	107.7(2)
C(5)-Si(1)-C(6)	111.4(4)	C(3)-Si(1)-C(6)	108.5(2)
C(4)-Si(1)-C(6)	109.6(4)	C(9)-Si(2)-C(12)	107.7(3)
C(9)-Si(2)-C(10)	108.1(3)	C(12)-Si(2)-C(10)	109.5(5)
C(9)-Si(2)-C(11)	110.0(3)	C(12)-Si(2)-C(11)	111.3(5)
C(10)-Si(2)-C(11)	110.2(4)	C(18)-Si(3)-C(15)	107.9(2)
C(18)-Si(3)-C(16)	110.0(3)	C(15)-Si(3)-C(16)	110.0(2)
C(18)-Si(3)-C(17)	111.4(3)	C(15)-Si(3)-C(17)	106.7(2)
C(16)-Si(3)-C(17)	110.7(3)	C(1)-O(1)-Mg(1)	86.4(2)
C(1)-O(2)-Mg(2)	141.2(2)	C(1)-O(2)-Mg(1)	92.6(2)
Mg(2)-O(2)-Mg(1)	117.59(9)	C(7)#1-O(3)-Mg(1)	128.3(2)
C(7)-O(4)-Mg(2)	137.3(2)	C(13)#1-O(5)-Mg(1)	132.3(2)
C(13)-O(6)-Mg(2)	133.0(2)	P(1)-O(7)-Mg(1)	167.6(2)
P(2)-O(8)-Mg(1)	150.5(2)	C(19)-N(1)-C(20)	115.2(4)
C(19)-N(1)-P(1)	121.8(3)	C(20)-N(1)-P(1)	121.3(3)
C(21)-N(2)-C(22)	113.8(5)	C(21)-N(2)-P(1)	120.2(4)
C(22)-N(2)-P(1)	125.9(4)	C(23)-N(3)-C(24)	112.7(4)
C(23)-N(3)-P(1)	121.0(3)	C(24)-N(3)-P(1)	118.5(3)
C(25)-N(4)-C(26)	112.5(6)	C(25)-N(4)-P(2)	127.6(4)
C(26)-N(4)-P(2)	118.9(6)	C(25)-N(4)-C(26')	95.7(10)
P(2)-N(4)-C(26')	106.5(10)	C(27)-N(5)-P(2)	130.1(5)
C(27)-N(5)-C(28)	98.8(7)	P(2)-N(5)-C(28)	107.5(7)
C(27)-N(5)-C(28')	86.4(10)	P(2)-N(5)-C(28')	110.0(9)
C(29)-N(6)-C(30)	107.3(7)	C(29)-N(6)-C(30')	105.0(22)
C(29)-N(6)-P(2)	127.4(4)	C(30)-N(6)-P(2)	120.4(7)
C(30')-N(6)-P(2)	105.6(23)	O(1)-C(1)-O(2)	121.4(3)
O(1)-C(1)-C(2)	121.3(3)	O(2)-C(1)-C(2)	117.2(3)
C(3)-C(2)-C(1)	174.0(4)	C(2)-C(3)-Si(1)	173.9(4)
O(4)-C(7)-O(3)#1	128.8(3)	O(4)-C(7)-C(8)	115.9(3)
O(3)#1-C(7)-C(8)	115.3(3)	C(9)-C(8)-C(7)	178.8(4)
C(8)-C(9)-Si(2)	177.0(4)	O(6)-C(13)-O(5)#1	127.9(3)
O(6)-C(13)-C(14)	117.2(3)	O(5)#1-C(13)-C(14)	115.0(3)
C(15)-C(14)-C(13)	177.1(4)	C(14)-C(15)-Si(3)	176.2(3)

Symmetry transformations used to generate equivalent atoms:

#1 -x+1,-y+1,-z

Table 4. Anisotropic displacement parameters [$Å^2$ x 10^3] for ic7298.

The anisotropic displacement factor exponent takes the form:

$-2\pi^2 [(ha^*)^2 U_{11} + ... + 2hka^*b^* U_{12}]$

	U11	U22	U33	U23	U13	U12
Mg(1)	37(1)	35(1)	30(1)	18(1)	13(1)	15(1)
Mg(2)	31(1)	29(1)	25(1)	12(1)	10(1)	12(1)
P(1)	43(1)	36(1)	43(1)	14(1)	16(1)	11(1)
P(2)	69(1)	62(1)	46(1)	36(1)	27(1)	30(1)
Si(1)	94(1)	74(1)	44(1)	19(1)	40(1)	23(1)
Si(2)	52(1)	110(1)	34(1)	-5(1)	-2(1)	19(1)
Si(3)	48(1)	74(1)	82(1)	45(1)	42(1)	35(1)
O(1)	59(1)	49(1)	56(1)	33(1)	30(1)	33(1)
O(2)	41(1)	31(1)	31(1)	14(1)	16(1)	18(1)
O(3)	47(1)	44(1)	42(1)	24(1)	3(1)	12(1)
O(4)	45(1)	36(1)	28(1)	15(1)	5(1)	10(1)
O(5)	52(1)	51(1)	48(1)	27(1)	28(1)	30(1)
O(6)	36(1)	45(1)	45(1)	23(1)	21(1)	20(1)
O(7)	54(2)	47(1)	45(1)	16(1)	13(1)	5(1)
O(8)	73(2)	58(2)	44(1)	33(1)	15(1)	12(1)
N(1)	72(2)	40(2)	61(2)	21(2)	17(2)	14(2)
N(2)	55(2)	70(2)	97(3)	20(2)	37(2)	18(2)
N(3)	72(2)	58(2)	53(2)	30(2)	16(2)	17(2)
N(4)	294(9)	89(4)	87(3)	68(3)	80(5)	54(4)
N(5)	214(7)	197(6)	85(3)	76(4)	93(4)	161(6)
N(6)	86(3)	271(9)	77(3)	114(5)	-3(3)	-15(4)
C(1)	38(2)	35(2)	35(2)	13(1)	16(1)	15(1)
C(2)	54(2)	39(2)	45(2)	16(1)	25(2)	21(2)
C(3)	69(2)	51(2)	48(2)	18(2)	33(2)	23(2)
C(4)	103(5)	157(6)	53(3)	21(3)	27(3)	16(4)
C(5)	100(4)	157(6)	93(4)	26(4)	70(4)	32(4)
C(6)	272(11)	139(6)	91(5)	75(5)	89(6)	96(7)
C(7)	32(2)	43(2)	29(1)	14(1)	9(1)	13(1)
C(8)	44(2)	53(2)	36(2)	21(2)	11(1)	15(2)
C(9)	47(2)	72(3)	34(2)	16(2)	3(2)	13(2)
C(10)	69(4)	182(8)	106(5)	-28(5)	15(4)	-22(4)
C(11)	121(6)	175(8)	88(5)	-37(5)	7(4)	67(6)
C(12)	181(8)	228(10)	76(4)	63(6)	-28(5)	64(8)
C(13)	35(2)	35(2)	36(2)	10(1)	16(1)	14(1)
C(14)	43(2)	47(2)	51(2)	25(2)	25(2)	21(2)
C(15)	48(2)	57(2)	62(2)	28(2)	31(2)	25(2)
C(16)	81(3)	91(3)	102(4)	55(3)	51(3)	58(3)
C(17)	111(4)	133(5)	115(4)	85(4)	84(4)	75(4)
C(18)	55(3)	104(4)	136(5)	50(4)	33(3)	15(3)
C(19)	129(5)	74(3)	104(4)	28(3)	-4(4)	57(4)
C(20)	100(4)	41(2)	94(4)	17(2)	41(3)	4(2)
C(21)	125(5)	83(4)	163(7)	11(4)	111(5)	17(4)
C(22)	49(3)	134(6)	192(8)	65(5)	24(4)	34(3)
C(23)	95(4)	80(3)	52(2)	15(2)	35(2)	5(3)
C(24)	109(4)	81(3)	99(4)	62(3)	9(3)	21(3)
C(25)	122(5)	62(3)	124(5)	44(3)	57(4)	23(3)
C(27)	170(7)	233(9)	135(6)	112(7)	118(6)	145(7)
C(29)	71(3)	122(5)	114(5)	71(4)	10(3)	35(3)

Table 5. Hydrogen coordinates (x 10^4) and isotropic displacement parameters ($Å^2$ x 10^3) for ic7298.

	x	y	z	U(eq)
H(4A)	6491(6)	8907(6)	4101(4)	178
H(4B)	5817(6)	9195(6)	4813(4)	178
H(4C)	5740(6)	9689(6)	4081(4)	178
H(5A)	3086(6)	8227(6)	4085(4)	181
H(5B)	2367(6)	7484(6)	2995(4)	181
H(5C)	3035(6)	8757(6)	3379(4)	181
H(6A)	5266(10)	6510(6)	3397(5)	225
H(6B)	3846(10)	5989(6)	3004(5)	225
H(6C)	4564(10)	6728(6)	4094(5)	225
H(10A)	11347(6)	8508(7)	5196(5)	247
H(10B)	10584(6)	8426(7)	4224(5)	247
H(10C)	10926(6)	7411(7)	4261(5)	247
H(11A)	9518(7)	9142(7)	6009(5)	244
H(11B)	8145(7)	8388(7)	5482(5)	244
H(11C)	8773(7)	9078(7)	5040(5)	244
H(12A)	10147(9)	7156(8)	6029(5)	270
H(12B)	9756(9)	6100(8)	5069(5)	270
H(12C)	8777(9)	6398(8)	5482(5)	270
H(16A)	323(5)	6727(4)	2066(4)	118
H(16B)	-1090(5)	6142(4)	1664(4)	118
H(16C)	-404(5)	6159(4)	969(4)	118
H(17A)	718(5)	5359(5)	3103(4)	143
H(17B)	180(5)	4063(5)	2559(4)	143
H(17C)	-683(5)	4739(5)	2747(4)	143
H(18A)	-2174(5)	3659(5)	609(5)	153
H(18B)	-1327(5)	2959(5)	460(5)	153
H(18C)	-1488(5)	3676(5)	-87(5)	153
H(19A)	6191(6)	9916(5)	355(5)	168
H(19B)	6943(6)	11044(5)	428(5)	168
H(19C)	6662(6)	11001(5)	1306(5)	168
H(20A)	9701(5)	11165(3)	1874(4)	128
H(20B)	8879(5)	11791(3)	2266(4)	128
H(20C)	9159(5)	11833(3)	1387(4)	128
H(21A)	8426(6)	8310(5)	-565(5)	193
H(21B)	9420(6)	7869(5)	-176(5)	193
H(21C)	9804(6)	9031(5)	-173(5)	193
H(22A)	10227(5)	9698(6)	2185(6)	197
H(22B)	10929(5)	9895(6)	1539(6)	197
H(22C)	10545(5)	8734(6)	1536(6)	197
H(23A)	7522(5)	10440(4)	2475(3)	125
H(23B)	7959(5)	9990(4)	3208(3)	125
H(23C)	6682(5)	9339(4)	2388(3)	125
H(24A)	8415(6)	7773(4)	1630(4)	147
H(24B)	7234(6)	7688(4)	1866(4)	147
H(24C)	8511(6)	8339(4)	2686(4)	147
H(25A)	6393(6)	10392(4)	-1974(5)	152
H(25B)	6603(6)	9857(4)	-1275(5)	152
H(25C)	5306(6)	9858(4)	-1739(5)	152
H(27A)	7200(8)	6392(8)	-3303(5)	214

H(27B)	7014(8)	6608(8)	-2341(5)	214
H(27C)	7634(8)	7606(8)	-2507(5)	214
H(29A)	2099(5)	6489(5)	-3756(5)	152
H(29B)	2762(5)	7433(5)	-2715(5)	152
H(29C)	2828(5)	6248(5)	-2956(5)	152
H(26A)	6156(9)	8222(9)	-3774(7)	155
H(26B)	7225(9)	9272(9)	-2951(7)	155
H(26C)	6061(9)	9400(9)	-3517(7)	155
H(28A)	4281(13)	5569(11)	-3932(10)	212
H(28B)	5187(13)	5423(11)	-3148(10)	212
H(28C)	5393(13)	5249(11)	-4097(10)	212
H(30A)	4195(13)	7521(12)	-4361(10)	224
H(30B)	3172(13)	7898(12)	-4065(10)	224
H(30C)	2890(13)	6653(12)	-4736(10)	224
H(26D)	4482(19)	8344(19)	-3928(15)	214
H(26E)	5165(19)	9629(19)	-3390(15)	214
H(26F)	4142(19)	9074(19)	-3108(15)	214
H(28D)	5938(21)	7736(19)	-4086(16)	217
H(28E)	6821(21)	7064(19)	-4125(16)	217
H(28F)	7198(21)	8218(19)	-3258(16)	217
H(30D)	4468(51)	6217(33)	-4332(31)	495
H(30E)	3047(51)	5822(33)	-4699(31)	495
H(30F)	3752(51)	5502(33)	-3949(31)	495